

Как известно, суммарная концентрация основных ионов (натрия и калия) в тканевых жидкостях и сыворотке крови примерно одинакова. Проведенные нами расчеты показали, что при всасывании нафтуси и других изоосмотичных ей растворов происходят значительные сдвиги в тоинности жидкости эпителиальной ткани. Из рис. 2 видно, что через 2 мин после напаивания животных всеми применявшимися рас-

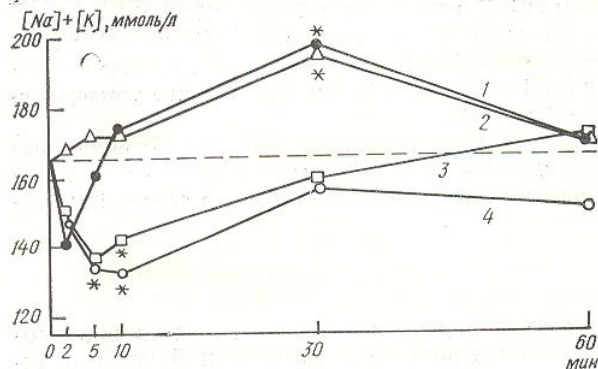


Рис. 2. Изменение суммарной концентрации натрия и калия в эпителии тонкой кишки крыс после одноразовой нагрузки водой нафтусей и ее компонентами:

1 — нафтуси; 2 — ИСАН и жирные кислоты (50 мкмоль/л);

3 — ИСАН; 4 — ИСАН и битумы.

творами значение $[Na] + [K]/[H_2O]$ уменьшается. Однако уже на 5-й минуте под действием нафтуси, а также жирных кислот начинается повышение суммарной концентрации электролитов, которое спустя 30 мин превышает контрольное значение, примерно на 20 % и возвращается к исходному спустя 60 мин. ИСАН, напротив, вызывает снижение суммарной концентрации ионов в первые 10 мин на 20 % с последующим постепенным восстановлением ее до первоначального значения. Добавление битумов к солевому аналогу не изменяло его эффекта.

Наблюдаемые нарушения баланса электролитов и воды в эпителии могут быть следствием воздействия компонентами всасываемых жидкостей на транспортные системы эпителиоцитов, поддерживающие

Таблица 1. Содержание воды, натрия и калия в 1 г сухой эпителиальной ткани тонкой кишки крыс после одноразовой нагрузки их различными растворами ($M \pm m$)

Введенная жидкость	Время, прошедшее после нагрузки				
	2 мин	5 мин	10 мин	30 мин	60 мин
Вода, г					
ИСАН	3,58 ± 0,14	4,22 ± 0,17 ^c	3,82 ± 0,12 ^a	3,67 ± 0,23	3,31 ± 0,24
ИСАН и битумы	3,64 ± 0,10	4,02 ± 0,09 ^c	3,81 ± 0,17 ^a	3,44 ± 0,20	3,49 ± 0,05
ИСАН и жирные кислоты	3,85 ± 0,15 ^a <i>P < 0,01</i>	3,56 ± 0,10 <i>P < 0,01</i>	3,37 ± 0,09 <i>P < 0,01</i>	3,00 ± 0,07 ^a <i>P < 0,01</i>	3,40 ± 0,21
Натрий, мкмоль					
ИСАН	163 ± 13,0 ^a	187 ± 15,7	161 ± 8,4	173 ± 6,9 ^a	188 ± 7,1
ИСАН и битумы	170 ± 9,4 ^a	169 ± 5,7 ^b	152 ± 7,7 ^c	160 ± 6,7 ^c	182 ± 9,3
ИСАН и жирные кислоты	230 ± 10,2 <i>P < 0,001</i>	249 ± 11,0 ^c <i>P < 0,01</i>	220 ± 8,9 ^a <i>P < 0,001</i>	224 ± 10,4 ^a <i>P < 0,001</i>	209 ± 7,9
Калий, мкмоль					
ИСАН	367 ± 26,3	368 ± 44,3	381 ± 13,6	394 ± 27,2	400 ± 25,0
ИСАН и битумы	364 ± 9,3	369 ± 14,1	356 ± 13,7	376 ± 11,1	371 ± 14,1
ИСАН и жирные кислоты	392 ± 18,3	364 ± 17,1	359 ± 14,5	367 ± 16,4	371 ± 13,6

Примечание. a, b, c — достоверность изменений содержания воды и электролитов по сравнению с исходным, до нагрузки (воды — 3,34 ± 0,14; натрия — 195 ± 6,8; калия — 350 ± 12,8), — <0,05, <0,01, <0,001 соответственно; Р — достоверность изменений значений показателей по сравнению с таковыми при нагрузке крыс ИСАН.

водно-солевой обмен в клетке и калиевый насос, поэтому сюда часть исследований.

Активность Na^+ , K^+ -активности Na^+ , K^+ -ATФ-двойной нафтусей, ее солевые компоненты ИСАН представлены в табл. 3. На тонкую кишку нафтуси действует ингибирующее действие ферментов. Так, через 2 мин активность Na^+ , K^+ -ATФ-двойной нафтусей снижается на 27 %, на 58 %, через 10 мин — на 30 %, через 30 мин остается ниже исходного уровня и только к концу часов становится нормальным. При введении раствора ИСАН происходят временные изменения: уже через 2 мин активность Na^+ , K^+ -ATФ-двойной нафтусей снижается на 65 %, на 5-й — снижается на 30 %, через 30 мин — вновь превышает исходное на 27 % и на 35 % соответственно.

Рис. 3. Содержание воды (I), натрия (II) и калия (III) в 1 г сухой эпителиальной ткани тонкой кишки крыс после одноразовой нагрузки растворами солевых компонентов в табл. 3:

1 — ИСАН; 2 — 2,58 мкмоль/л $CaCl_2$; 3 — 1,95 мкмоль/л $Mg(HCO_3)_2$; 4 — 10 мкмоль/л $NaCl$.

жирных кислот к солевому аналогу и ИСАН не вызывают нарушения баланса электролитов в эпите-

лии (III) в 1 г сухой эпителиальной ткани тонкой кишки крыс после одноразовой нагрузки растворами солевых компонентов в табл. 3:

Таблица 2. Активность ферментов в эпите-

Введенная жидкость	Активность ферментов		
	Нафтуси	ИСАН	ИСАН и жирные кислоты
Нафтуси	100	23	11
ИСАН	100	23	11
ИСАН и жирные кислоты	100	23	11

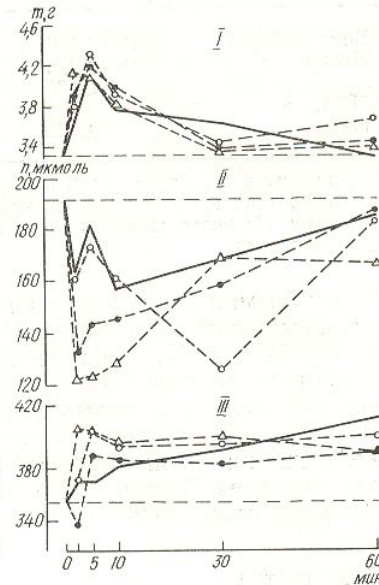
Примечание. a, b, c — достоверность изменений по сравнению с исходным, до нагрузки, по сравнению с соединением нафтусей и ИСАН. Р — достоверность изменений каждого варианта.

водно-солевой обмен в клетках. Ключевую роль в этом играет натрий-калиевый насос, поэтому оценке его активности и была посвящена вторая часть исследований.

Активность Na^+ , K^+ -АТФазы в эпителии тонкой кишки. Динамика активности Na^+ , K^+ -АТФазы эпителиоцитов после нагрузки крыс водой нафтусей, ее солевым аналогом и раствором жирных кислот в ИСАН представлена в табл. 2. Действие на тонкую кишку нафтуси вызывает быстрое ингибирование ферментной системы. Так, через 2 мин АТФазная активность снижается на 27 %, через 5 мин — на 58 %, через 10 мин — на 42 %, через 30 мин остается ниже исходной на 37 % и только к концу часового периода восстанавливается. При введении крысам раствора ИСАН происходят противоположные изменения: уже в первые 2 мин активность Na^+ , K^+ -АТФазы возрастает на 65 %, на 5-й — снижается, а на 10-й и 30-й — вновь превышает исходную на 27 и 35 % соответственно. Добавление

Рис. 3. Содержание воды (I), натрия (II) и калия (III) в 1 г сухой эпителиальной ткани тонкой кишки после одноразовой нагрузки крыс растворами солевых компонентов воды нафтуси:

I — ИСАН; 2 — 2,58 ммоль/л $\text{Ca}(\text{HCO}_3)_2$ и 7,42 ммоль/л NaCl ; 3 — 1,95 ммоль/л $\text{Mg}(\text{HCO}_3)_2$ и 8,05 ммоль/л NaCl ; 4 — 10 ммоль/л NaCl .



жирных кислот к солевому аналогу полностью имитировало угнетение ферментной системы водой нафтусей (см. табл. 2).

Биоактивность сыворотки крови. При всасывании нафтуси, ее солевого аналога и ИСАН с жирными кислотами в крови крыс появляются вещества, действующие на активность Na^+ , K^+ -АТФазы эпителиоцитов животных, не получавших водной нагрузки. Из результатов, представленных в табл. 3, видно, что через 10 мин после введения нафтуси в сыворотке крови крыс появляются ингибиторы ферmenta, которые вызывают такое же, примерно, снижение его активности, как и прямое действие нафтуси на эпителий — на 47 %. Ингибитор выявляется в сыворотке крови еще через 30 мин после нагрузки животных, а через 60 мин эффекта сыворотки нет. При всасывании солевого аналога сыворотка крови проявляла свойства активатора ферmenta через

Таблица 2. Активность Na^+ , K^+ -АТФазы эпителиоцитов тонкой кишки крыс после одноразовой нагрузки их минеральной водой нафтусей и ее компонентами ($M \pm m$, мкмоль $\text{P}_H \cdot \text{мг}^{-1} \cdot \text{ч}^{-1}$)

Введенная жидкость	Время, прошедшее после нагрузки				
	2 мин	5 мин	10 мин	30 мин	60 мин
Нафтуся	10,3 \pm 1,01 ^b	6,8 \pm 0,68 ^c	8,2 \pm 0,80 ^c	8,9 \pm 1,24 ^c	13,5 \pm 1,77
ИСАН	23,4 \pm 2,67 ^c $P < 0,001$	16,6 \pm 1,75 $P < 0,001$	17,9 \pm 1,40 ^a $P < 0,001$	19,1 \pm 1,6 ^b $P < 0,01$	12,1 \pm 2,31
ИСАН и жирные кислоты	11,8 \pm 0,86	7,9 \pm 0,71 ^c	10,4 \pm 0,82 ^b	7,5 \pm 0,59 ^c	12,3 \pm 1,11

Примечание. ^{a, b, c} Достоверность изменения активности фермента по сравнению с исходной, до нагрузки (14,1 \pm 0,79), — $< 0,05$, $< 0,01$, $< 0,001$ соответственно; Р — по сравнению с соответствующими значениями активности фермента при нагрузке крыс нафтусей; число животных в контроле — 41, в опыте — по 10 (не менее) для каждого варианта.

Таблица 3. Влияние сыворотки крови крыс, нагруженных минеральной водой нафтусями или ее компонентами, на активность Na^+ - K^+ -АТФазы эпителиоцитов интактных животных ($M \pm m$), мкмоль $\text{P}_\text{n} \cdot \text{мг}^{-1} \cdot \text{ч}^{-1}$

Введенная жидкость	Время взятия крови после нагрузки				
	через 2 мин	через 5 мин	через 10 мин	через 30 мин	через 60 мин
Вода нафтуся	10,8 \pm 1,47	12,7 \pm 1,60	6,4 \pm 0,72 ^c	5,9 \pm 0,75 ^c	14,9 \pm 2,59
ИСАН	16,8 \pm 2,12 ^a $P < 0,05$	20,7 \pm 2,40 ^b $P < 0,01$	16,1 \pm 1,45 ^a $P < 0,001$	11,9 \pm 1,75 $P < 0,01$	16,8 \pm 3,17
ИСАН и жирные кислоты	10,9 \pm 0,77	10,9 \pm 0,93	6,8 \pm 0,68 ^c	7,2 \pm 0,41 ^c	12,8 \pm 1,05

Примечание. За контроль принята активность фермента после воздействия на него сывороткой крови интактных крыс — 12,1 \pm 0,99 (остальные обозначения те же, что и в табл. 2); число животных в контроле — 31, в опыте — по 10 (не менее) для каждого варианта.

2, 5 и 10 мин после нагрузки, что выражалось соответствующим возрастанием активности Na^+ - K^+ -АТФазы эпителиоцитов интактных крыс на 39, 71 и 34 %. Добавление жирных кислот к ИСАН обусловливало приобретение сывороткой ингибиторных по отношению к ферментной системе свойств аналогично нативной минеральной воде (см. табл. 3). Внутривенное введение жирных кислот не оказывало какого-либо воздействия на активность Na^+ - K^+ -АТФазы: в соскобе эпителиоцитов, взятом через 10 мин после начала введения, она составила (12,9 \pm 1,5) мкмоль $\text{P}_\text{n} \cdot \text{мг}^{-1} \cdot \text{ч}^{-1}$.

Обсуждение

Приведенные результаты с достаточной определенностью свидетельствуют о том, что вода нафтуся, в плане действия ее на ионтранспортный механизм клеток эпителия тонкой кишки, содержит два начала: тормозящее и активирующее. При сопоставлении характера реакций на натуральную воду нафтуся и на выделенные из нее жирные кислоты становится очевидным, что именно последние являются тем фактором, который угнетает активность Na^+ - K^+ -насоса.

Ранее нами показано, что жирные кислоты нафтуся, а также короткоцепочечные жирные кислоты (выделенные из нефти), внесенные в среду инкубации гомогената эпителиального слоя тонкой кишки, вызывают снижение активности Na^+ - K^+ -АТФазы [7]. Такой же эффект на фермент показан и другими авторами, использовавшими иные жирные кислоты [16, 18, 19]. Обнаружено также, что жирные кислоты угнетают всасывательную активность кишечника [12, 15], что, очевидно, обусловлено их ингибирующими свойствами на насосный механизм.

Как известно, Na^+ - K^+ -АТФазная ферментная система локализована в базолатеральном участке плазматической мембранны эпителиоцита [14] и поэтому недоступна для прямого действия на нее содержимого полости кишки, в том числе и жирных кислот. По нашим результатам, внутривенное введение жирных кислот в количестве, соответствующем всасавшемуся при 1,5 %-ной нагрузке животных нафтуся, не вызывает изменения активности фермента в эпителиоцитах тонкой кишки. Это свидетельствует о том, что наружная поверхность базолатеральной мембранны, обращенная к кровянистому руслу, не имеет мест связывания жирных кислот нафтуся, поэтому их эффекта нет. Однако этот факт оставляет возможность предположить, что жирные кислоты, всосавшиеся в кровь, являются тем фактором сыворотки, который обладает ингибиторным действием на Na^+ - K^+ -АТФазу гомогената эпителиоцитов интактных крыс. Ранее нами показано, что за 10 мин всасывается 50—60 % введенной животным минеральной воды [11]. Расчет показал, что количество жирных кислот, поступивших из нафтуся в кровь за 10 мин, составляет $5 \cdot 10^{-2}$ мкмоль. Если учесть

количества циркулирующими в организме, то максимальная концентрация может составить $5 \cdot 10^{-3}$ мкмоль/л. Оценка ее биоактивности в ферментативном препарате показала, что активность сыворотки нафтуся, действующего на кишечник, составляет $1 \cdot 10^{-3}$ мкмоль/л. Активность сыворотки нафтуся может быть обусловлена содерянением в нем ингибиторного вещества, которое ингибирует хождение и относится к метаболитам. Изучение путей его поступления и проведения дальнейших исследований.

Результаты, приведенные в таблице, показывают, что при всасывании нафтуся в кишечник происходит всасывание натрия в эпителиальных клетках. Известно, что всасывание натрия, как правило, происходит в эпителиальных клетках, соответствующему количеству натрия, в обоих случаях в центном отношении. Блюдается даже тогда, когда всасывание натрия ниже контрольного уровня. Перераспределение натрия в ионтранспортных системах части внутриклеточных включениях в результате всасывания натрия в кровь, т. е. в среду, имеющую высокий уровень натрия, возможно, связано с изменениями макромолекул, связанных с жирными кислотами, относящимися к этим ионам. Гипотеза о связывании жирных кислот с ионами натрия в гипотиленовых связях, связанных с козаминогликановыми веществами соединительной ткани, является значительной гипотезой.

Большой интерес представляет активация Na^+ - K^+ -АТФазы, а также появление гипертонии при всасывании ИСАН в кровь — результат первичного поступления натрия в клетку. Гипотетическое действие нафтуся на плазматической мембране показано, что гипертоническая активность нафтуся — результат действия нафтуся на ионные каналы — резервные активности, находящиеся в клеточной мембране. Активность фермента наблюдается кратковременным действием нафтуся.

Природа сыворотки, образование, механизмы ее поступления в кровь пока описаны не полностью. Для этого вопроса требует дальнейших исследований.

количество циркулирующей крови у использовавшихся в опытах крыс, то максимальная концентрация жирных кислот в 1 мл сыворотки крови может составить $5 \cdot 10^{-3}$ мкмоль/мл. После разведения сыворотки, при оценке ее биоактивности, конечная концентрация жирных кислот в ферментативном препарате составит $5 \cdot 10^{-6}$ — $5 \cdot 10^{-7}$ мкмоль/мл. Как показали проведенные ранее исследования [7], пороговая доза жирных кислот нафтузи, действующая на фермент в гомогенате эпителия тонкой кишки, составляет $1 \cdot 10^{-5}$ мкмоль/мл. Отсюда очевидно, что тормозящая активность сыворотки крови крыс, получавших нафтузию, не может быть обусловлена содержащимися в ней жирными кислотами. Вероятнее, что ингибиторный фактор сыворотки крови — эндогенного происхождения и относится к высокоактивным физиологическим веществам, высвобождающимся в кровь под влиянием жирных кислот и (или) их метаболитов. Изучение механизма образования указанного фактора, пути его поступления в кровь, анализ химической структуры требуют проведения дальнейших исследований.

Результаты, приведенные в нашей работе, свидетельствуют о том, что при всасывании нафтузи, а также жирных кислот происходит накопление натрия в эпителиальной ткани (см. рис. 1, табл. 1). Это согласуется с выявленным ингибированием Na^+ , K^+ -АТФазы эпителиоцитов. Известно, что угнетение Na^+ -транспортной системы сопровождается, как правило, кроме повышения содержания внутриклеточного натрия, соответствующим увеличением количества воды [17]. Тем не менее, в обоих случаях, накопление натрия в ткани опережает (в процентном отношении) прирост воды. Высокое содержание натрия наблюдается даже тогда, когда происходит потеря воды тканью до значения ниже контрольного (на 30-й минуте после нагрузки). Такое перераспределение натрия и воды в эпителии, кроме угнетения активности ионтранспортных систем, может быть обусловлено также связыванием части внутриклеточного натрия, что должно приводить к снижению внутриклеточной осмолярности и, как следствие, переходу воды в кровь, т. е. в среду с высокой осмотической активностью. Связывание натрия, возможно, происходит в результате конформационных изменений макромолекулярных структур клеток и интерстиция под действием жирных кислот нафтузи, что приводит к повышению их сродства к этим ионам. Подобный процесс осуществляется при введении в кровь гипо- или гипертонических растворов, когда высвобождается или связывается значительное количество ионов натрия белковыми и гликозаминогликановыми молекулами плазмы крови [3] и межуточного вещества соединительной ткани [8].

Большой интерес, с нашей точки зрения, представляют данные об активации Na^+ , K^+ -АТФазы эпителиоцитов солевым аналогом нафтузи, а также появления в сыворотке крови активаторов Na^+ , K^+ -насоса при всасывании ИСАН. Есть основания считать, что активация насоса — результат первичного набухания эпителиоцитов вследствие интенсивного поступления в них воды из полости кишки по осмотическому градиенту [13, 20]. После такого воздействия изменяются концентрация ионов в клетке, гидратация внутриклеточных структур и геометрия цитоплазматической мембранны [13]. На изолированных нервных клетках показано, что гипотонические воздействия вызывают включение дополнительных — резервных единиц натрий-калиевого насоса, локализованных в клеточной мембране, что и приводит к повышению суммарной активности ферментной системы [18]. При действии нафтузи тоже наблюдается кратковременное набухание клеток, но этот эффект перекрывается действием жирных кислот.

Природа сывороточного активатора Na^+ , K^+ -АТФазы, место его образования, механизм гипоосмотической стимуляции его высвобождения в кровь пока остаются в области предположений. Разработка этого вопроса требует проведения систематических и разносторонних исследований.

**DIRECT AND INDIRECT EFFECT OF MINERAL WATER NAFTUSIA
AND ITS COMPONENTS ON THE SODIUM-POTASSIUM PUMP OF THE
SMALL INTESTINE EPITHELIUM IN RATS**

Experiments on rats have shown that intragastric single introduction of mineral water Naftusia to animals in a dose of 1.5 % of the body weight of animals induces sodium accumulation in the small intestine epithelium, that is a result of Na^+ , K^+ -pump inhibition by fatty acids of this water. Naftusia absorption induces appearance of inhibitors of Na^+ , K^+ -ATPase enzymic system in blood serum of rats. Artificial salt Naftusia analog (ASNA) has induced contrary changes in the water-electrolytic balance and activated Na^+ , K^+ -ATPase. Blood serum of ASNA-loaded rats acquired ability to activate Na^+ , K^+ -pump of epitheliocytes in intact rats.

A. A. Bogomoletz Institute of Physiology,
Academy of Sciences of the Ukrainian SSR, Kiev

СПИСОК ЛИТЕРАТУРЫ

1. Бутусова И. А., Попович И. Л., Яременко М. С. Влияние минеральной воды Нафтусия на выделение инсулина и гастрин // Физиол. журн. — 1987. — 33, № 4. — С. 112—115.
2. Бутусова И. А., Яременко М. С., Ивасюк С. В., Ильина Т. А. Активация гастроинтестинального аппарата у крыс водой Нафтусия и ее отдельными компонентами // Физиол. журн. — 1988. — 34, № 3. — С. 38—43.
3. Доценко В. Л., Финкинштейн Я. Д. О возможном механизме срочной осморегуляции // Бюл. эксперим. биологии и медицины. — 1968. — 66, № 12. — С. 19—22.
4. Еспенек Б. Е. Физиологическое действие минеральной воды Нафтусия. — Киев : Наук. думка, 1981. — 214 с.
5. Попович И. Л. Механизм действия минеральной воды Нафтусия на секреторную функцию желудка: Автореф. дис... канд. мед. наук. — Киев, 1987. — 22 с.
6. Прибыльская Т. Т., Гаске О. Д. Влияние вод скважины № 21-Н курорта Трускавец на транспортную функцию изолированного кишечника // Физиологические и курортные факторы и их лечебное применение. — 1975. — Вып. 9. — С. 69—74.
7. Физиологические основы лечебного действия воды Нафтусия // Под ред. М. С. Яременко и др. — Киев : Наук. думка, 1988. — 144 с.
8. Финкинштейн Я. Д. Осморегулирующая система организма высших животных. — Новосибирск : Наука, 1983. — 125 с.
9. Яременко М. С., Бутусова И. А., Харламова О. Н. Участие Na^+ , K^+ -зависимой АТФазы в механизме действия окситоцина на транспорт изотонической жидкости эпителием желчного пузыря // Физиол. журн. СССР. — 1974. — 50, № 10. — С. 1592—1596.
10. Яременко М. С., Попович И. Л., Бутусова И. А. Влияние воды Нафтусия на кислотно-щелочноводно-электроныкторный аппарат желудка у собак // Физиол. журн. — 1986. — 32, № 5. — С. 538—545.
11. Яременко М. С., Харламова О. Н., Прокопенко О. Н. Изменение водно-электролитного баланса стенки тонкого кишечника крыс в процессе всасывания минеральной воды Нафтусия // VII Всесоюз. конф. по физиологии почки и водно-солевого обмена, посвященной 90-летию со дня рождения А. Г. Гинецинского (Чернигов, 15—19 окт. 1985 г. : Тез. докл.). — Киев : Изд-во Киев. ун-та, 1985. — С. 255.
12. Ammon H. V., Walter L. G., Loeffler R. F. Effect on amphotericin B and cholera toxin on intestinal transport in the rat. An *in vivo* model for the effects of dihydroxy bile acids and fatty acids on intestinal transport / J. Lab. and Clin. Med. — 1983. — 102, N 4. — P. 509—521.
13. Benes J., Janacek K., Taushova R. Cell water content in carp kidney tissue slices as influenced by various osmotic agents // Physiol. Bohemosl. — 1983. — 32, N 4. — P. 328—334.
14. Ernst S. A., Mills J. W. Autoradiographic localisation of tritiated ouabain-sensitive sodium pump sites in ion transporting epithelia // J. Histochem. and Cytochim. — 1980. — 28, N 1. — P. 72—77.
15. Gullikson G. W., Cline W. S., Lorenzsonn V. et al. Effect of anionic surfactants on hamster small intestinal membrane structure and function: relationship to surface activity // Gastroenterology. — 1977. — 73, N 3. — P. 501—511.
16. Kelly R. A., O'Hara D. S., Witch W. E., Smith T. W. Identification of Na^+ , K^+ -ATPase inhibitors in human plasma as nonesterified fatty acids and lysophospholipids // J. Biol. Chem. — 1986. — 261, N 25. — P. 11704—11711.
17. Lang F., Messner H., Wang W., Oberleithner H. Interaction of intracellular electrolytes and tubular transport // Klin. Wochenschr. — 1983. — 61, N 20. — P. 1029—1037.
18. Saghian A. A., Dadalian S. S., Takenaka T. et al. The effects of short-chain fatty acids on the neuronal membrane functions of Helix pomatia. ^{111}Na efflux from the cells // Cell. and Mol. Neurobiol. — 1986. — 6, N 4. — P. 397—405.
19. Swann A. C. Free fatty acids and (Na^+ , K^+)-ATPase: Effect on cation regulation,

Физиол. журн., 1990, т. 36, № 2

enzyme conformation and P. 354—361.

20. Sweedner K. J., Goldin S. nism, function and regul.

Ин-т физиологии им. А. А. Бан УССР, Киев

УДК 611.366+612.357.71+616—073

О. Б. Дынник

**Оценка функциональной
желчевыводящей системы
динамической эхоХ**

Для оценки функции (ЖВС) у животных и методы исследования нарушают морфологию, стояние, механизмы и наркоз. У человека применяются исключительно предполагаемым патоморфологическим методом, более щадящими и при комфорте, риск которых, влияние введенного гонного эффекта констатации этих методов.

В последнее десятилетие метод ультразвука вошел в силу своей высокой точности [6, 12, 13]. В отношении состояния ЖВС метод

диагностический, морфофункциональный, влиянием холецистита изменяется функция моральными механизмами, ходит перераспределение желчных протоков, изменениями соотношения (ЖП) и сфинктера, закономерной смены [5, 7, 9]. Динамическое состояние ЖВС, может звуковых «резов» временем.

Цель нашего изучения ЖВС у человека (ДЭХГ).

Методика

Исследования выполнены на серой шкале в реальном показателе, характеризующем «срез» органа по его

Физиол. журн., 1990,

- enzyme conformation and interactions with ethanol // Arch. Biochem.—1984.—233.—
P. 354—361.
20. Sweadner K. J., Goldin S. M. Active transport of sodium and potassium ions mechanism, function and regulation // N. Engl. J. Med.—1980.—302, N 4.—P. 764—820.

Ин-т физиологии им. А. А. Богомольца
АН УССР, Киев

Материал поступил
в редакцию 30.11.88

УДК 611.366+612.357.71+616—073

О. Б. Дынник

Оценка функционального состояния желчевыводящей системы с помощью динамической эхоБолецистографии

Для оценки функционального состояния желчевыводящей системы (ЖВС) у животных и человека используют инвазивные и неинвазивные методы исследования [1, 3, 5, 10]. Однако инвазивные методы резко нарушают морфологическую целостность ЖВС, ее функциональное состояние, механизмы нейрогуморальной регуляции, оказывает влияние и наркоз. У человека, кроме того, хирургические вмешательства выполняются исключительно по медицинским показаниям с заведомо предполагаемым патологическим процессом, что не позволяет оценивать функциональное состояние ЖВС в норме. Неинвазивные методы более щадящи и приемлемы для здоровых людей. Тем не менее, дискомфортность, риск лучевого воздействия и токсико-аллергических реакций, влияние введенного дуоденального зонда, венепункции, желчегонного эффекта контрастных препаратов ограничивают сферу применения этих методов [10, 11, 14].

В последнее десятилетие получил распространение неинвазивный метод ультразвукового исследования структурных особенностей ЖВС в силу своей высокой информативности, безопасности и простоты [2, 6, 12, 13]. В отношении же возможности определения функционального состояния ЖВС метод оценивается неоднозначно [6, 8, 14, 16, 17].

Диагностический ультразвук практически не вызывает изменений морфофункционального состояния организма [8, 18]. Известно, что под влиянием холецистокинетического завтрака, принятого перед натощак, изменяется функциональное состояние ЖВС, обусловленное нейрогуморальными механизмами регуляции желчевыделения [5, 7]. Происходит перераспределение потоков желчи и давления в системе печень — желчные протоки — желчный пузырь — кишечник. Оно вызвано изменениями соотношения моторно-тонических функций желчного пузыря (ЖП) и сфинктеров Одди и Люткенса, происходящими циклически с закономерной сменой периодов опорожнения и наполнения ЖП желчью [5, 7, 9]. Динамику размера ЖП, отражающую функциональное состояние ЖВС, можно определить по серии замеров площади ультразвуковых «срезов» ЖП, выполненных через короткие интервалы времени.

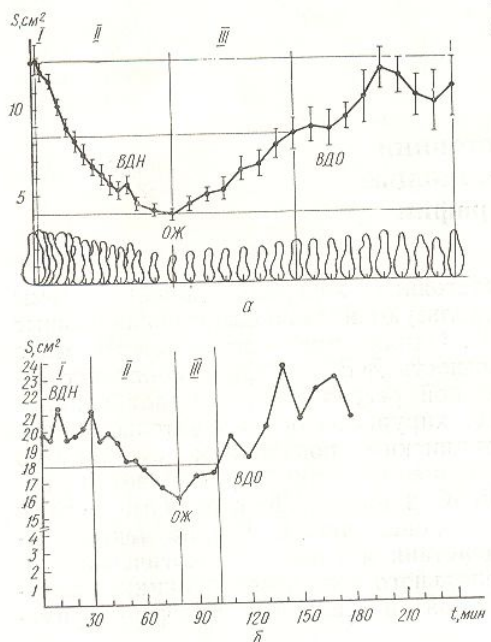
Цель нашего исследования — оценка функционального состояния ЖВС у человека с помощью динамической эхоБолецистографии (ДЭХГ).

Методика

Исследования выполнены на ультразвуковом томографе линейного В-сканирования с серой шкалой в реальном масштабе времени — «ALOKA SSD-256» (Япония). Интегральным показателем, характеризующим размер ЖП, нами избрана площадь наибольшего «среза» органа по его длинной оси. Вместимость ЖП не использовали из-за значитель-

ных погрешностей и сложностей ее определения [14, 15]. Площадь «среза» определяли непосредственно на экране монитора томографа по числу включенных в «срез» растро- вых точек (pixel) дисплея, с точностью до $0,1 \text{ см}^2$, что значительно облегчало и ускоряло обработку первичной визуальной информации. Расчеты и статистическую обработку проводили на программируемом микрокалькуляторе «Электроника» МК-52.

Обследовано 22 здоровых добровольца (6 — мужчин, 16 — женщин) среднего возраста — $(21,6 \pm 1,3)$ г. Группу практически здоровых людей формировали на основании анамнестического, физического и ультразвукового методов исследования. Людей с патологией сердечно-сосудистой системы, включая гипертонию, в исследование не включали.



ового методов исследования. Людей с патологией пищеварительной системы в эту группу не включали. Обследование осуществляли утром, строго натощак, после 8—10-часового ночного перерыва в приеме пищи, в горизонтальном положении без какой-либо специальной подготовки, в два этапа. На первом этапе проводили традиционное обзорное ультразвуковое сканирование для определения эхоструктурных особенностей органов гепатобилиарной системы: размера, формы, положения, внутреннего их

Динамика средних значений площади наибольшего среза желчного пузыря по длиной оси у здорового человека (*a*) и больного (*b*) хроническим холециститом с гипотонической — гипокинетической дискинезией желчного пузыря и спазмом сфинктера Одди (по результатам эхоХолецистограммы):

I — латентный период; *II* — период опорожнения желчного пузыря; *III* — период наполнения желчного пузыря (ВДН — волна дополнительного наполнения, ОЖ — остаточная желчь, ВДО — волна дополнительного опорожнения).

строения и содержимого ЖП. На втором этапе испытуемый принимал внутрь холецистокинетический стандартный завтрак в виде двух сырых яичных желтков, после чего производили серию «резов» ЖП интервалом 5 мин (первые 60 мин) и 10 мин (в последующие 120—180 мин) до появления устойчивой тенденции к увеличению ЖП после сокращения (достижение размера не менее 50 % разности исходного и минимального значений размера ЖП). Фиксировали субъективные ощущения испытуемого в ходе наблюдения.

Информацию представляли графически в виде эхограммы (рисунок, а). По изломам кривой выделяли основные периоды, рассчитывали параметры двигательной деятельности ЖП для оценки функции ЖВС. Нисходящие отрезки кривой, отражающие уменьшение размера ЖП, обусловлены преобладанием моторно-тонических усилий ЖП над сопротивлением сфинктеров Одди и Люткенса эвакуации из него желчи. Увеличение размера ЖП (восходящие участки эхограммы) свидетельствуют о преобладании давления в системе желчных протоков над таковым в полости ЖП. Это связано с повышенным сопротивлением в области сфинктера Одди выходу желчи в кишечник при непрерывном поступлении ее из печени. Суммы этих факторов, вероятно, достаточно для преодоления сопротивления сфинктера Люткенса и наполнения ЖП. Горизонтальный ход графика (размер ЖП не изменяется) может быть обусловлен либо динамическим равновесием давления в ЖП и протоках, либо спазмом сфинктера Люткенса, препятствующим реализации наполнения или опорожнения ЖП.

Результаты и их обсуждение

Из 22 практически здоровых испытуемых у 11 исследование проведено однократно, у 8 — два раза и у 3 — три раза. При этом каких-либо значительных субъективных ощущений (кроме чувства голода у 3 человек на втором часу исследования) и клинических проявлений не от-

мечено. На всех эхограммах, в основном сотельной деятельности ный период (ЛП), не наполнения, или рассмы близок к графику ную с помощью друлеистографии [9], а

ЛП определяли завтрака до проявления (3,5 мин \pm 0,9 мин). Должавшийся до момента остаточная желчь (3 ЖП оценивали ПН и являющего 50 % разности (70,1 мин \pm 6,9 мин). тельного наполнения грамме (0,5 \pm 0,1 и 1, по разности размеро 0,44 см² \pm 0,06 см² со продолжительности венно). Продолжительность моторно-тонического ружения ЛП свидетельствует в ответ на пищевой гуморальной регуляции обнаруживался.

Темп сокращения размера ЖП во время за весь ПО (0,48 см²/мин ± 10%) эвакуаторные воздухопроводы эвакуации железнодорожных вагонов.

Ритм опорожнения участков в ПС согласованность (с) Эвакуаторную способности (КЭ), определены 30-, 60-, 90-м минуты размеру ($K\dot{E}_{30}=40$, $\pm 2,5\%$; $K\dot{E}_{60}=75$,

В ПН рассчиты зервуарную функции нений оттока желчи увеличения размера ($0,08 \text{ см}^2/\text{мин} \pm 0,01$) валов ПН, характере слаблению (растяж Люткенса и максимуму $\pm 0,02 \text{ см}^2/\text{мин}$) нения (ВДО) по по тенденции к увеличению ($\pm 0,18 \text{ см}^2$) и их динамика, отражают мельности органов в

Исходный раз¹
представление о ф
ние ЖП в межпиц
моторно-тонической
давления во внепе

мечено. На всех эхограммах по изломам можно было выделить интервалы, в основном соответствующие схеме периодизации цикла двигательной деятельности ЖП по Линденбратену и Круглякову [9]: латентный период (ЛП), период опорожнения, или сокращения, (ПО), период наполнения, или расслабления, (ПН) ЖП. Характер кривой эхограммы близок к графикам, отражающим моторику ЖП, зарегистрированную с помощью других методов: баллонокимографии [5], рентгенхолецистографии [9], динамической билисцинтиграфии [4, 6].

ЛП определяли по времени, прошедшем от приема стандартного завтрака до проявления тенденции стойкого уменьшения размера ЖП ($3,5 \text{ мин} \pm 0,9 \text{ мин}$). Отсюда начинался ПО ($77,4 \text{ мин} \pm 5,1 \text{ мин}$), продолжавшийся до момента достижения ЖП наименьшего размера — остаточная желчь ($3,2 \text{ см}^2 \pm 0,2 \text{ см}^2$). С момента увеличения размера ЖП оценивали ПН по времени достижения пузырем размера, составляющего 50 % разности исходного и наименьшего значений размера — ($70,1 \text{ мин} \pm 6,9 \text{ мин}$). В ЛП и ПО определяли число волн дополнительного наполнения (ВДН) по наличию восходящих участков на эхограмме ($0,5 \pm 0,1$ и $1,6$ волны $\pm 0,2$ волны соответственно), их высоту — по разности размеров ЖП у начала и вершины волны ($0,76 \pm 0,19$ и $0,44 \text{ см}^2 \pm 0,06 \text{ см}^2$ соответственно), а также их долю (%) относительно продолжительности периодов ($75,0 \pm 7,5$ и $13,7 \% \pm 1,6 \%$ соответственно). Продолжительность ЛП и наличие ВДН отражают выраженность моторно-тонической активности сфинктера Одди. Факт необнаружения ЛП свидетельствует о быстром переходе ЖП к сокращению в ответ на пищевой стимул и отражает скорость перестройки нейромоторальной регуляции ЖВС [5, 7]. У 45,4 % здоровых людей ЛП не обнаруживался.

Темп сокращения (ТС) рассчитывали по отношению уменьшения размера ЖП ко времени этого уменьшения. Общий ТС (T_{C_0}) определяли за весь ПО ($0,15 \text{ см}^2/\text{мин} \pm 0,02 \text{ см}^2/\text{мин}$). Выделяли максимальный ТС (T_{C_m}) из ТС в отдельные интервалы времени между замерами ЖП ($0,48 \text{ см}^2/\text{мин} \pm 0,04 \text{ см}^2/\text{мин}$). Он отражает максимальные моторно-эвакуаторные возможности ЖП при наименьшем сопротивлении на пути эвакуации желчи.

Ритм опорожнения ЖП определяет наличие ВДН и горизонтальных участков в ПО (равномерный, неравномерный). Ритм отражает согласованность (синергию) работы ЖП и сфинктерных аппаратов. Эвакуаторную способность ЖП характеризуют коэффициенты эвакуации ($K\vartheta$), определяемые как доля (%) уменьшения размера ЖП к 30-, 60-, 90-м минутам и за весь ПО по отношению к его исходному размеру ($K\vartheta_{30}=40,6 \% \pm 3,1 \%$, $K\vartheta_{60}=64,7 \% \pm 2,7 \%$; $K\vartheta_{90}=64,8 \% \pm 2,5 \%$; $K\vartheta_{\text{по}}=75,1 \% \pm 1,9 \%$).

В ПН рассчитывали темп наполнения (ТН), характеризующий резервуарную функцию ЖП при сокращении сфинктера Одди и затруднении оттока желчи в кишечник. Вычисляли общий ТН как отношение увеличения размера ЖП за ПН к продолжительности периода ($0,08 \text{ см}^2/\text{мин} \pm 0,01 \text{ см}^2/\text{мин}$) и максимальный ТН в одном из интервалов ПН, характеризующий способность ЖП к максимальному расслаблению (растяжению) при наибольшей проходимости сфинктера Люткенса и максимальном сопротивлении сфинктера Одди ($0,21 \text{ см}^2/\text{мин} \pm 0,02 \text{ см}^2/\text{мин}$). В ПН выделяли волны дополнительного опорожнения (ВДО) по периодическому уменьшению ЖП на фоне общей его тенденции к увеличению. Их число ($1,0 \pm 0,2$), выраженность ($0,89 \text{ см}^2 \pm 0,18 \text{ см}^2$) и их доля в продолжительности ПН ($24,3 \% \pm 2,5 \%$), видимо, отражают моторную активность ЖВС при периодической деятельности органов пищеварения [7].

Исходный размер ЖП натощак также может дать определенное представление о функциональном состоянии ЖВС. Исходное наполнение ЖП в межпищеварительный период зависит, с одной стороны, от моторно-тонической и концентрационной функций ЖП, с другой,— от давления во внепеченочных желчных протоках, зависящего от уровня